

# نقش اسکن $Tc-99m$ -MIBI در تشخیص تومورهای بدخیم پستان

دکتر محمد افتخاری و دکتر زهرا شاهی

مؤسسه تحقیقات پزشکی هسته‌ای، دانشکده پزشکی، دانشگاه علوم پزشکی تهران

## چکیده

جهت بالا بردن حساسیت و ویژگی ماموگرافی و کاهش تعداد نمونه برداشی از پستان، روش‌های تصویربرداری جدیدی مورد استفاده قرار گرفته‌اند. در این مطالعه نقش اسکن  $Tc-99m$ -MIBI در بررسی توده‌های پستان ارزیابی شده است. نتایج به دست آمده نشان داد که در موارد خوش خیم، روش اسکن و ماموگرافی به ترتیب  $89/5$  درصد و  $73/7$  درصد با نتایج حاصله از پاتولوژی مطابقت دارند، در حالی که تطبیق ضایعات بدخیم در این درروش  $85/7$  درصد بود. با وجود پایین بودن تعداد بیماران، به نظر می‌رسد که اسکن  $Tc-99m$ -MIBI روشی است نوین که در تشخیص توده‌های بدخیم از موارد خوش خیم پستان، مفید می‌باشد.

ابزار تشخیص برای سرطان‌های مخفی به شمار می‌رود. با وجود حساسیت مطلوب ماموگرافی ( $90-85$  درصد) برای تشخیص سرطان پستان، توانایی این روش در تشخیص افتراقی ضایعات خوش خیم از بدخیم، محدود است (۱). اسکن  $Tc-99m$ -MIBI یکی از روش‌های نوین پزشکی هسته‌ای در بررسی توده‌های پستان می‌باشد که به دلیل خصوصیات مطلوب فیزیکی از نظر تصویرنگاری و نیز راحتی تهیه، که به شکل کیت (kit) می‌باشد، بر اسکن  $Tl-201$ -chloride برتری دارد. کم هزینه بودن این روش نسبت به توموگرافی پوزیترونی (PET) مزیت دیگر این رادیودارو است. اسکن  $Tc-99m$ -MIBI در تشخیص است که حساسیت و ویژگی مطلوبی در تشخیص تومورهای بدخیم از خوش خیم دارد. هدف از این بررسی تعیین کاربرد اسکن  $Tc-99m$ -MIBI در تشخیص افتراقی توده‌های بدخیم از خوش خیم پستان است.

## مقدمه

سرطان پستان شایعترین بدخیمی و یکی از بالاترین علل مرگ در زنان  $40-44$  ساله می‌باشد. این بیماری، سی و دو درصد از انواع سرطان‌ها در زنان را تشکیل داده و علت نوزده درصد مرگ‌های مربوط به بدخیمی در آنهاست. طبق گزارش‌های منتشر شده در ایالات متحده، سالانه  $185$  هزار تا  $190$  هزار مورد جدید این بیماری شناخته می‌شود و حدود  $46000$  تا  $50000$  نفر در اثر این بیماری فوت می‌کنند (۱). با وجود افزایش شیوع، مرگ و میر ناشی از سرطان پستان بدون تغییر مانده است. این کاهش نسبی مرگ و میر به علت تشخیص بیماری در مراحل اولیه است که به نوبه خود موجب افزایش عمر بیماران می‌گردد. تشخیص زودرس سرطان پستان با اجرای برنامه بیماریابی که براساس روش‌های معاینه فیزیکی و نیز ماموگرافی می‌باشد میسر گشته است، به طوری که در حال حاضر ماموگرافی بهترین

و ۶ مورد از ۷ مورد توده بدخیم را مثبت نشان داد. به این ترتیب هر دو روش ماموگرافی و اسکن Tc-99m-MIBI یک مورد منفی کاذب نشان دادند و در مجموع، نتایج ۶ مورد (۸۵٪) تصویر نگاری با پاتولوژی هماهنگی داشت. کوچکترین و بزرگترین توده بدخیم مشخص شده در اسکن Tc-99m-MIBI به ترتیب  $1 \times 1$  و  $4 \times 5$  سانتی متر (تصاویر ۱ و ۲) بودند. یک مورد منفی کاذب با روش اسکن Tc-99m-MIBI، توده ای به اندازه  $2 \times 3$  سانتی متر بود که در قسمت داخلی میانی پستان چپ قرار داشت (تصویر ۳). یک مورد منفی کاذب با روش ماموگرافی مربوط به فرد بیماری بود که فیستولی در زیر بغل چپ داشت بدون این که توده ای قابل لمس در معاينه بالینی یا ماموگرافی داشته باشد. در اسکن Tc-99m-MIBI ناحیه ای با جذب کانونی در قسمت خارجی پستان چپ دیده شد که دال بر بدخیمی بود که پس از جراحی، وجود بدخیمی در بورسی بافتی تأیید شد. در ۱۷ بیمار، ۱۹ ضایعه خوش خیم گزارش شد که شامل ۱۰ مورد فیبروآدنوما، ۵ ضایعه فیبروکستیک، یک مورد بافت نرمال پستان، یک مورد کیست ساده و دو مورد غدد لنفاوی التهابی پستان بود. از این تعداد، ۱۷ ضایعه عدم جذب Tc-99m-MIBI را نشان دادند که مؤید خوش خیم بودن ضایعه بود. دو فیبروآدنوم به اندازه های  $8 \times 10$  (تصویر شماره ۴) و  $2 \times 3$  (تصویر شماره ۵) سانتی متر، جذب Tc-99m-MIBI را نشان دادند که در نتیجه، این ضایعات بدخیم (مثبت کاذب) قلمداد شدند. ماموگرافی ۱۴ مورد ضایعه خوش خیم را مشخص کرد. پنج مورد ضایعه از نظر سرطان مشکوک تلقی شد که یک مورد فیبروآدنوم  $8 \times 10$  سانتی متری بود که با اسکن نیز بدخیم تلقی گردیده بود. سه مورد fibrocystic epitheliosis و یک مورد بافت طبیعی پستان نیز با ماموگرافی، بدخیم گزارش گردید. بنابراین از مجموع ۱۹ ضایعه خوش خیم، ۱۷ (۸۹٪) درصد مورد با اسکن و ۱۴ مورد (۷۳٪) درصد با ماموگرافی نتایجی مطابق با نتیجه پاتولوژی نشان دادند. اسکن Tc-99m-MIBI یک مورد منفی کاذب (۳٪) و دو مورد مثبت کاذب (۵٪) را نشان داد و ماموگرافی حاکی از یک مورد منفی کاذب (۶٪) و پنج مورد مثبت کاذب (۳٪) بود.

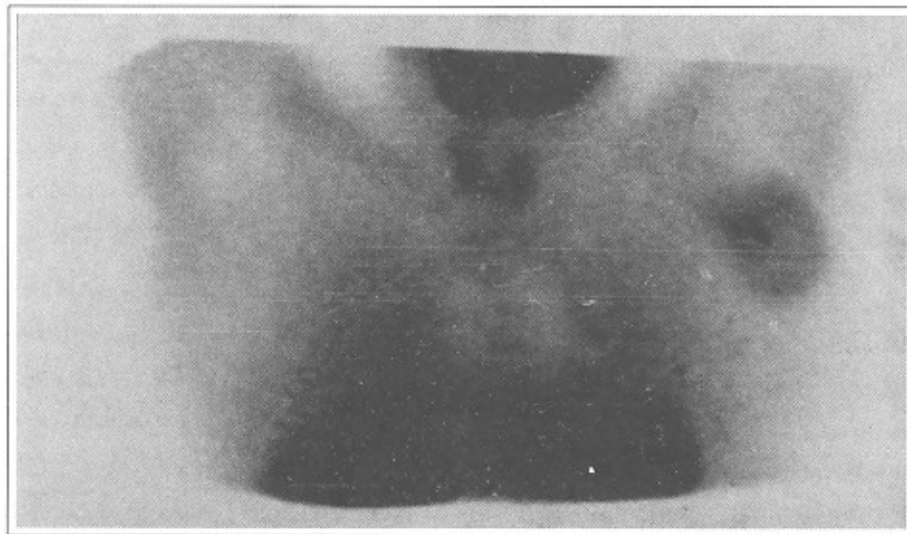
## روش بررسی

بیست و چهار زن با توده های پستانی و با فیستول که با روش های بالینی و ماموگرافی تشخیص داده شده بودند، با اسکن شدند. کلیه بیماران حداقل ۳ هفته پس از تهیه اسکن تحت نمونه برداری قرار گرفتند. سن متوسط بیماران ۴۲ سال و محدوده سنی آنان ۱۵ تا ۷۰ سال بود. بیماران ابتدا در کلینیک بیماری های پستان بیمارستان امام خمینی و درمانگاه جراحی ۳ استیتو کانسر توسط متخصصان جراحی عمومی معاینه بالینی شده و برای آنان ماموگرافی درخواست شده بود. بیماران حداقل طی یک هفته پس از انجام ماموگرافی جهت تهیه اسکن Tc-99m-MIBI به مؤسسه تحقیقات پزشکی هسته ای فرستاده شدند و حداقل سه هفته پس از انجام اسکن تحت نمونه برداری قرار گرفتند. در این مطالعه از کیت های سازمان ابروئی اتمی ایران استفاده شد و برابر روش توصیه شده، رادیوداروی Tc-99m-MIBI تهیه گردید.

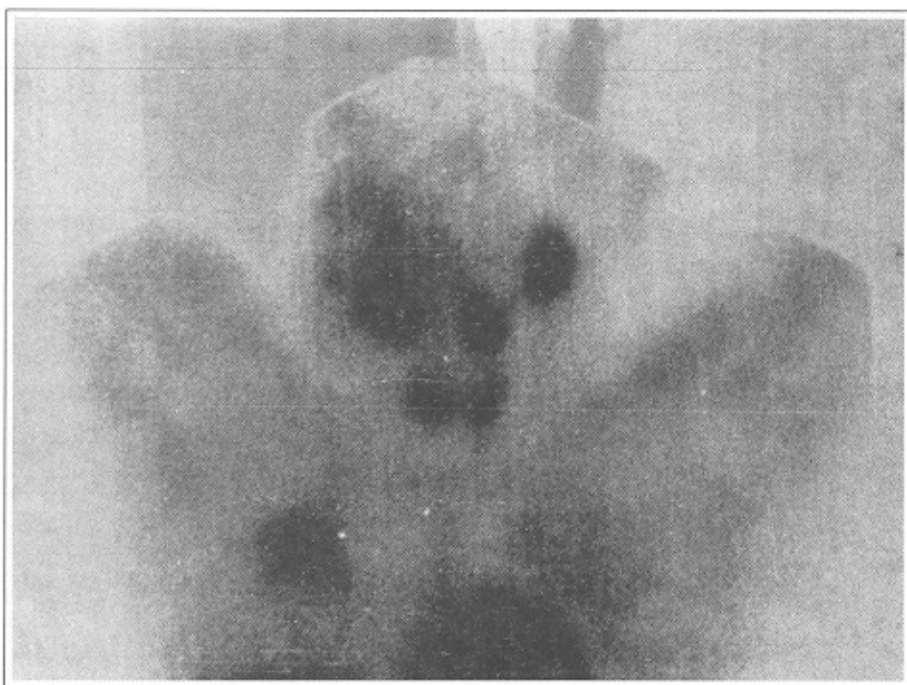
به تمام بیماران مقدار  $2 \pm 28$  میلی کوری رادیودارو بطور وریدی در اندام فوقانی طرف مقابله ضایعه تزریق گردید. پنج تا ده دقیقه پس از تزریق، تصاویر پلانار توسط گاما کامراژی با میدان دید وسیع (LFV) و کالیماتور انژو پایین در نهایی قدامی، طرفی راست و چپ، در وضعیت خوابیده بر روی شکم (prone)، از نواحی پستان و زیر بغل انجام شد. به بیماران توصیه گردید تا حد امکان دست ها را بالای سر قرار دهند تا پستان ها به سمت بالا و خارج رانده شوند تا این که از تداخل اکتیویته طبیعی قلب و احتشای شکمی جلوگیری شود. تصاویر مورد نظر در فوتوپیک ۱۴۰ keV با دریچه ۲۰ درصد و ماتریس  $256 \times 256$  در مدت ده دقیقه برای هر تصویر تهیه شد. هر اسکن که افزایش جذب غیر طبیعی کانونی نشان داد، بدون توجه به درجه جذب، مثبت گزارش گردید. عدم جذب نشانه خوش خیمی ضایعه بود. تغییر اسکن ها توسط دو متخصص پزشکی هسته ای صورت گرفت که در هر ۲۴ مورد تفسیر آنها هماهنگی صد درصد نشان داد.

## نتایج

در ۲۴ بیمار، ۲۶ توده پستانی و فیستول مشاهده شد که نوزده توده خوش خیم بود. نتیجه با هر دو روش یکسان بوده



شکل ۱ - نمای قدامی اسکن پستان با  $Tc-99m$ -MIBI افزایش جذب شدید تومور بدخیم در زیر بغل چپ.



شکل ۲ - نمای قدامی اسکن پستان با  $Tc-99m$ -MIBI با افزایش شدید جذب در تومور بدخیم پستان راست.

تومورهای بدخیم پستان تاکنون به کار رفته اند که  $Tl-201$  بیشترین کاربرد را داشته است. ولی این رادیودارو به دلیل خصوصیات نامطلوب فیزیکی و نیز محدودیت استفاده از آن تکنسیروم-پرتکنتان نشاندار و  $Tl-201$  برای نشان دادن

### بحث

رادیوداروهای مانند  $Tc-99m$ -MIBI، گالیوم-۶۷،

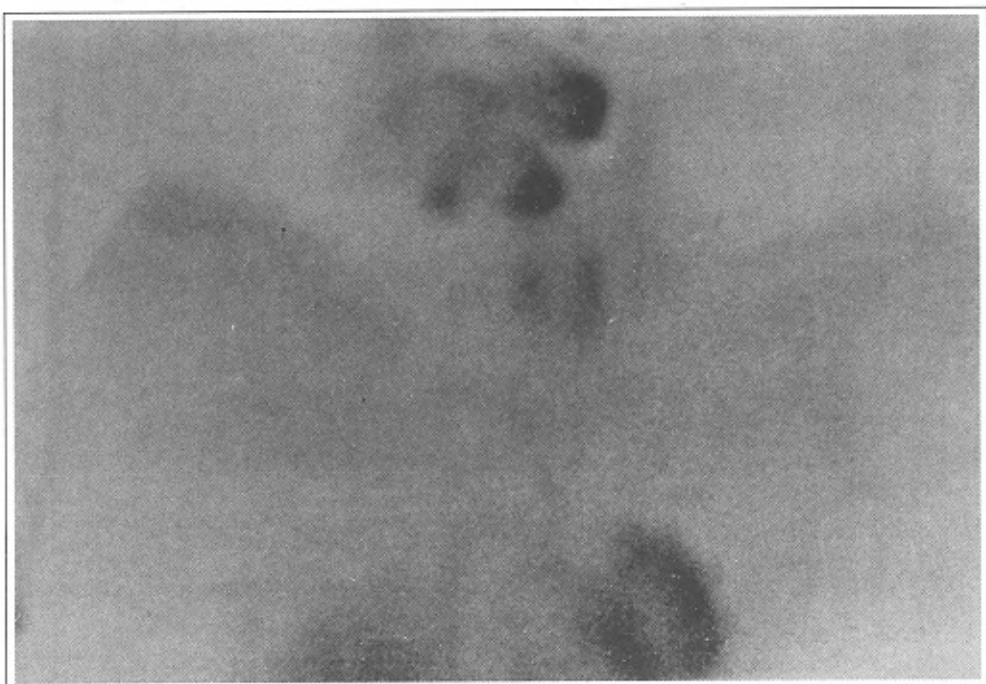
تکنسیروم-پرتکنتان نشاندار و  $Tl-201$  برای نشان دادن

و ویژگی  $4/94\% - 84\%$  گزارش شده است. همچنین predictive value Negative Positive predictive value به ترتیب  $1/82\% - 97\%$  و  $1/76\% - 95\%$  به دست آمده است (۱). از گزارش‌های فوق چنین نتیجه‌گیری نموده‌اند که ماموسیتی گرافی با Tc-99m-MIBI روشن است با حساسیت بالا که سبب بهبود ویژگی ماموگرافی در تشخیص سرطان پستان می‌گردد (۱-۹). ابتدا برای تصویربرداری از قلب به کار گرفته شد و در حال حاضر نیز نقش شناخته شده‌ای در بررسی جریان خون قلب دارد. این رادیودارو ابتدا متناسب با جریان خون در بدن توزیع می‌شود سپس به سرعت از جریان خون پاک شده و از طریق انتشار غیر فعال وارد غشای سلول می‌گردد. سرعت متابولیسم سلول‌های سرطانی حدود  $10-40$  برابر سلول‌های طبیعی است. همین امر سبب می‌شود که Tc-99m-MIBI جهت تصویربرداری تومورها مفید باشد. در بررسی حاضر، از ۷ زن که دارای توده پستانی و فیستول بودند و در پاتولوژی، بدخیمی آن‌ها اثبات شده بود ۶ مورد (۸۵/۷) دارای اسکن Tc-99m-MIBI مثبت بودند.

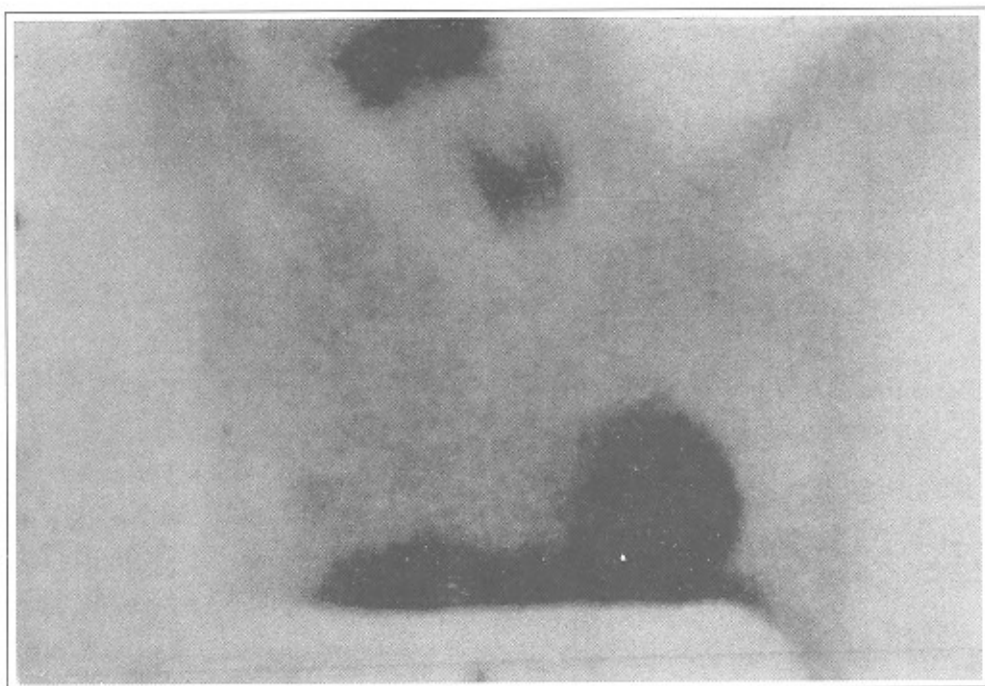
در دزهای بیش از ۵ میلی‌کوری، کاربرد وسیعی پیدا نکرده است. در حال حاضر برای تصویربرداری از پستان، Tc-99m-MIBI چاشین Tl-201-chloride شده است. مزیت عمدۀ Tc-99m-MIBI به دلیل انرژی مناسب تکنسیوم می‌باشد. هر چند که ویژگی اسکن 201-Tl مختصراً بیش از ویژگی Tc-99m-MIBI می‌باشد ولی حساسیت Tc-99m-MIBI در نشان دادن سرطان پستان بالاتر است. درگیری غدد لنفاوی زیر بغل نیز با Tc-99m-MIBI بهتر مشاهده می‌شود (۱).

استفاده از رادیودارو Fluorine-18-DG (FDG) نیز روشن است که در تشخیص تومور بدخیم اولیه پستان حساسیت  $96\%$  و ویژگی  $100\%$  داشته است (۱). متناسازهای غدد لنفاوی به آسانی با FDG-PET دیده می‌شوند، اما توموگرافی پوزیترونی (PET) نیاز به وسائل پرهزینه دارد. به همین دلیل PET هنوز کاربرد وسیع بالینی پیدا نکرده است (۱).

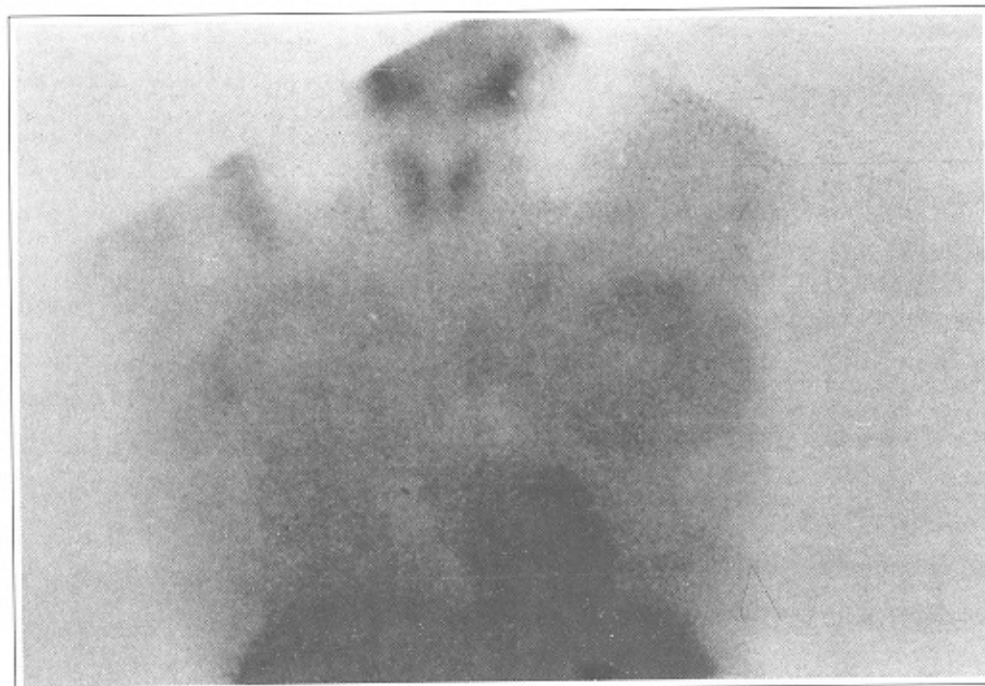
در گذشته، حساسیت ماموسیتی گرافی با Tc-99m-MIBI برای تشخیص تومورهای بدخیم اولیه پستان  $100\% - 84\%$  بود.



شکل ۳- نمای قدامی اسکن پستان با Tc-99m-MIBI (منفی کاذب) در فرد مبتلا به سرطان پستان طرف چپ.



شکل ۴- نمای فدامی اسکن پستان با  $Tc-99m$ -MIBI با افزایش جذب در فیبروآدنوم پستان راست.



شکل ۵- نمای فدامی اسکن پستان با  $Tc-99m$ -MIBI با افزایش جذب در فیبروآدنوم پستان چپ.

نمی شوند. ماموگرافی برای نشان دادن ضایعات در پستان هایی که بافت متراکم یا دیسپلاستیک دارند مشکل است. در این گونه موارد اسکن Tc-99m-MIBI برای نشان دادن سرطان های پستان می تواند مفید باشد.

در این بررسی یک مورد مثبت کاذب به دلیل کارسینوم کلیوی مشاهده شد که بیمار با یک توده بزرگ ( $15 \times 20$ ) در ناحیه زیر بغل چپ مراجعه کرده بود. ماموگرافی علاوه بر نشان دادن این توده، در پستان طرف مقابل، داخل کشیدگی پوست و احتمال بدخیمی را نشان داد. نتیجه اسکن برای پستان راست منفی بود ولی جذب رادیودارو در ناحیه توده زیر بغل چپ مشاهده شد و این نتایج با جواب پاتولوژی مطابقت داشت. به طور کلی چنین به نظر می رسد که اسکن Tc-99m-MIBI در بالا برد و ویژگی ماموگرافی و در بیماریابی، تشخیص و ارزیابی روش های درمانی تومورهای پستان بسیار مفید می باشد و جا دارد که مطالعات وسیع تری در این زمینه صورت گیرد.

## مراجع

1. KhalKhali I. Review of imaging techniques for the diagnosis of breast cancer: a new role of prone scintimammography using technetium-99m- sestamibi. J Nucl Med. 21: 357-362; 1994.
2. Freeman ML. Nuclear Medicine Annual. New York: First Raven press 1994: 210-211.
3. Khalkhali I. Technetium-99m-sestamibi Scintimammography of breast lesions. Clinical and pathological follow-up. J Nucl Med. 36: 1784-1789; 1995.
4. Taillefer R. Technetium-99m-sestamibi prone scintimammography to detect primary breast Cancer and axillary lymph node involvement. J Nucl Med. 36: 1758-1765; 1995.
5. Khalkhali I. scintimammography. The complementary role of Tc-99m-sestamibi prone breast imaging for the diagnosis of breast carcinoma. Radiology. 196: 421-426; 1995.
6. Khalkhali I. prone scintimammography in patients with suspicion of carcinoma of the breast. J Am Coll Surg. 178: 491-497; 1994.
7. Burak Z, Argon M. Evaluation of palpable breast masses with Tc-99m-MIBI, a comparative study with mammography and ultrasonography. Nucl Med Comm. 15: 604-612; 1994.
8. KAO CH, Wang SJ. The use of Tc-99m-MIBI breast scintigraphy to evaluate palpable breast masses. Eur J Nucl Med. 21: 432-436; 1994.

هر نوع افزایش جذب که بیش از اکتیویته زمینه پستان بود مثبت تلقی شد، بطوری که از این ۶ نفر ۲ نفر جذب شدید و بقیه جذب خفیف تا متوسط را نشان دادند. هر چند که گفته شده است افزایش شدید جذب در سرطان هایی دیده می شود که دارای توانایی بالقوه متابستاز می باشند، در اسکن این دو بیمار جذب غیر طبیعی در ناحیه غدد لنفاوی زیر بغل و یا متابستاز دور دست دیده شد.

در این بررسی یک مورد منفی کاذب و حاکم از توده ای به اندازه  $2 \times 3$  سانتی متر بود که در قسمت داخلی میانی پستان چپ قرار داشت. علاوه بر جذب طبیعی قلب که می توانست مانع دیده شدن این توده شده باشد، شاید کم عروقی توده مذکور توجیه دیگری برای مشاهده نشدن آن باشد (۸). بدین ترتیب بنظر می رسد که عواملی چون فقدان رزولوشن در تصویربرداری پلانار و کمی تعداد عروق میکروسکوپی، رویت تومورها را محدود می کنند.

کوچکترین تومور مشاهده شده در این بررسی اندازه ای برابر  $1 \times 1$  سانتی متر داشت که متعلق به فرد بیماری بود که فیستولی در زیر بغل چپ داشت. این توده در معاینه بالینی و ماموگرافی مشخص نشده بود و تنها با اسکن Tc-99m-MIBI مثبت بود و پاتولوژی نیز تشخیص وجود سرطان را تأیید کرد. محدودیت های تشخیص فوق الذکر با نتایج به دست آمده توسط دیگر پژوهشگران هماهنگی دارد. اگرچه در این بررسی دو غده لنفاوی التهابی جذب MIBI را نشان ندادند، گزارش های مثبت کاذب در این گونه موارد وجود دارند که آن را به پرخونی ناشی از التهاب نسبت می دهند (۱). در این بررسی موارد مثبت کاذب مربوط به دو فیبر و آدنوم به اندازه های  $8 \times 10$  و  $2 \times 3$  سانتی متر بود.

در این مطالعه هیچ یک از ۴ بیمار (با ۵ ضایعه) که دارای تغییرات فیبروکیستیک بودند، جذب اسکن Tc-99m-MIBI نشان دادند، در حالی که در ۲ بیمار که مجموعاً ۳ ضایعه داشتند، نمای ضایعات در ماموگرافی مشکوک تلقی گردید. در بیماران زن که تغییرات قابل توجه فیبروکیستیک در پستان دارند معاینه بالینی مشکل است. این بیماران با ماموگرافی نیز به سختی قابل بررسی هستند، به طوری که گاهی سرطان های قابل لمس با این روش تشخیص داده

11. Palmedo H, Schomburg A. Tc-99m-MIBI scintimammography for suspicious lesions. *J Nucl Med.* **37:** 626-630; 1996.
12. Lastoria S, Varrella P. Technetium-99m-sestamibi scintigraphy in the diagnosis of primary breast cancer (Abstract). *J Nucl Med.* **35:** 79; 1994.
9. Lu G, Shih WJ. Tc-99m-MIBI mammoscintigraphy of breast masses, early and delayed imaging. *J Nucl Comm.* **16:** 150-156; 1995.
10. Peller PJ, Khedkar NY. Breast tumor scintigraphy. *J Nucl Med Technol.* **24:** 198-203; 1996.